

Министерство науки и высшего образования
Российской Федерации
Федеральное государственное бюджетное образовательное
учреждение высшего образования
«МОСКОВСКИЙ АВИАЦИОННЫЙ ИНСТИТУТ»
(НАЦИОНАЛЬНЫЙ ИССЛЕДОВАТЕЛЬСКИЙ УНИВЕРСИТЕТ)

Институт № 2 «Авиационные, ракетные двигатели и энергетические
установки»

Кафедра 202 «Ракетные двигатели»

КУРСОВАЯ РАБОТА
по дисциплине «Автоматика и регулирование ЖРДУ»

Анализ динамики процессов в гидромагистрали с учетом внешних колебаний
и работы демпфера

Выполнил	студент 5 курса	Гунин Филипп
	группы М2О-504С-19	Алексеевич

Проверил	Доктор технических наук	Мартыросов Давид
	Профессор	Суренович

Москва 2023

СОДЕРЖАНИЕ

1	ПОСТАНОВКА ЗАДАЧИ	3
1.1	Задание	3
1.2	Исходные данные	4
2	РЕШЕНИЕ	5
2.1	Решение стационарной задачи	5
2.2	Решение динамической задачи с демпфером	6
2.2.1	Определение математической модели	6
2.2.2	Определение АЧХ системы	11
2.3	Решение динамической задачи без демпфера	14
2.3.1	Определение математической модели	14
2.3.2	Определение АЧХ системы	17
3	ЗАКЛЮЧЕНИЕ	19
	БИБЛИОГРАФИЧЕСКИЙ СПИСОК	20
	ПРИЛОЖЕНИЕ	22

1 ПОСТАНОВКА ЗАДАЧИ

Дана расчетная схема гидромагистральной системы, представленная на рисунке 1.1. Гидромагистраль представляет собой три трубопровода, по которым течет жидкость, и соединяющую их полость с установленным в ней демпфером. За демпфер принимается полость с газом, отделенным от жидкости идеальной мембраной.

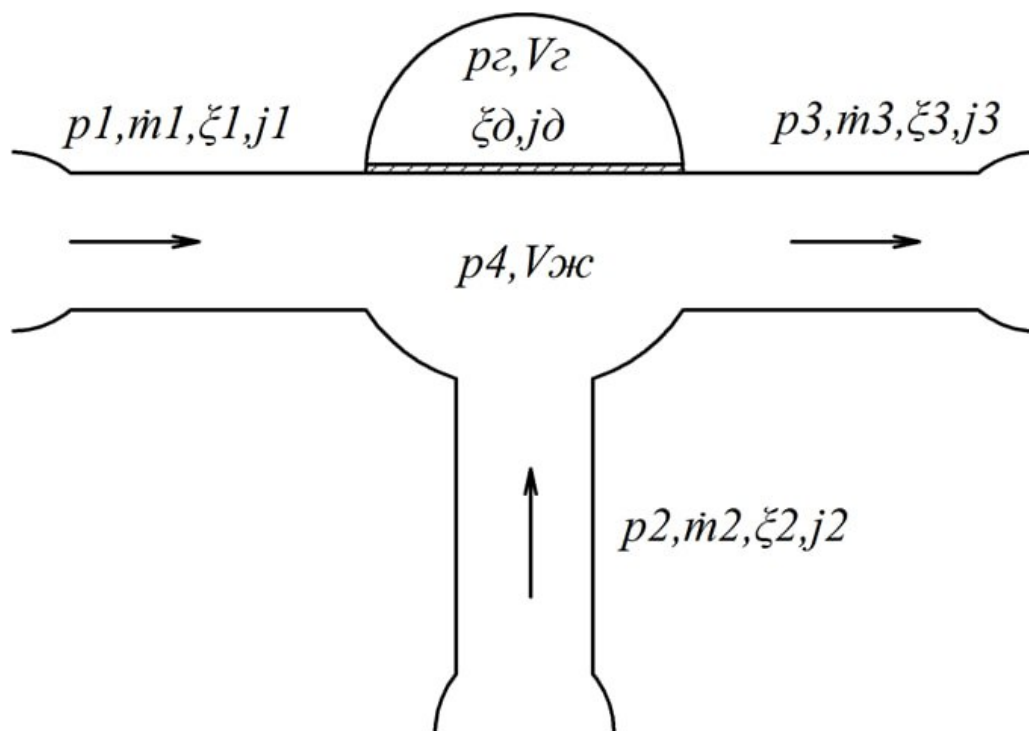


Рис. 1.1 – Расчетная схема гидромагистральной системы

1.1 Задание

Необходимо составить математическую модель работы гидромагистральной системы, и на ее основе решить следующие задачи:

- а) задавшись возмущением p_2 , изучить его влияние в гидромагистральной системе с демпфером на величины p_4 , V_d , \dot{m}_1 , \dot{m}_2 , \dot{m}_3 и \dot{m}_d ;
- б) задавшись возмущением p_2 , изучить его влияние в гидромагистральной системе без демпфера на величины p_4 , V_d , \dot{m}_1 , \dot{m}_2 , \dot{m}_3 и \dot{m}_d ;
- в) построить амплитудно-частотную характеристику $W = \frac{p_4}{p_2}$.

1.2 Исходные данные

Исходные данные представлены в таблице 1.1, а в таблице 1.2 представлены значения параметров системы.

Таблица 1.1 – Исходные установки

Параметр	Значение
Рабочая жидкость	Керосин
Демпфирующий газ	Гелий
Возмущение	Импульсное

Таблица 1.2 – Параметры системы

Группа параметров	Параметр	Значение	Размерность
Давления в трубопроводах	p_1	0.4	МПа
	p_{2_0}	0.3	
	p_3	0.1	
Коэффициенты инерционности	$j_{1,2,3}$	400	$\frac{1}{\text{с}}$
	j_d	20	
Коэффициенты гидросопротивления	$\xi_{1,2,3,d}$	1000	$\frac{1}{\text{кг}\cdot\text{м}}$
Объём проточной области	$V_{ж_0}$	0.004	м^3
Объём газа	$V_{г_0}$	0.003	м^3
Температура газа	$T_{г_0}$	293	К

2 РЕШЕНИЕ

2.1 Решение стационарной задачи

Для решения динамической задачи необходимо получить некоторые параметры потока на стационарном режиме. Для этого нужно решить стационарную задачу. Запишем её в виде системы уравнений

$$\begin{cases} \dot{m}_{1_0} + \dot{m}_{2_0} - \dot{m}_{3_0} = 0, \\ p_{4_0} - p_{\Gamma_0} = 0, \\ p_{1_0} - p_{4_0} - \xi_1 \dot{m}_{1_0}^2 = 0, \\ p_2 - p_{4_0} - \xi_2 \dot{m}_{2_0}^2 = 0, \\ p_{4_0} - p_3 - \xi_3 \dot{m}_{3_0}^2 = 0. \end{cases} \quad (2.1)$$

Решив систему уравнений, получим

$$\begin{cases} \dot{m}_{1_0} = 10.515, \\ \dot{m}_{2_0} = 3.249, \\ \dot{m}_{3_0} = 13.764, \\ p_{4_0} = 289442.719, \\ p_{\Gamma_0} = 289442.719. \end{cases} \quad (2.2)$$

Посчитаем массу газа по уравнению состояния. Запишем уравнение состояния газа

$$\rho_{\Gamma} = \frac{p_{\Gamma_0}}{R_{\Gamma} \cdot T_{\Gamma}} = 0.476, \quad (2.3)$$

где $R_{\Gamma} = \frac{R}{M_{\Gamma}} = \frac{8.314}{0.004026} = 2077.149$, а масса газа тогда будет равна

$$m_{\Gamma} = \rho_{\Gamma} \cdot V_{\Gamma_0} = 0.001 \text{ кг}. \quad (2.4)$$

Решение стационарной задачи было произведено численным методом. Программный код расчета, написанный на языке программирования python, представлен в приложении.

2.2 Решение динамической задачи с демпфером

2.2.1 Определение математической модели

Запишем математическую модель для динамической системы с демпфером в виде следующей системы дифференциальных уравнений

$$\begin{cases} \frac{d}{dt}p_4 = \frac{(\dot{m}_1 + \dot{m}_2 - \dot{m}_3 - \dot{m}_d)}{\frac{V_{ж0} + V_d}{c^2}}, \\ \frac{d}{dt}V_d = \frac{\dot{m}_d}{\rho_{ж}}, \\ \frac{d}{dt}m_d = \frac{\left[p_4 - \frac{m_r}{V_{r0} - V_d} \cdot R \cdot \left[T_{r0} \cdot \left(\frac{p_4}{p_{40}} \right)^{\frac{k-1}{k}} \right] - \xi_d \cdot \dot{m}_d \cdot |\dot{m}_d| \right]}{j_d}, \\ \frac{d}{dt}m_1 = \frac{(p_1 - p_4 - \xi_1 \cdot \dot{m}_1 \cdot |\dot{m}_1|)}{j_1}, \\ \frac{d}{dt}m_2 = \frac{(p_2 - p_4 - \xi_2 \cdot \dot{m}_2 \cdot |\dot{m}_2|)}{j_2}, \\ \frac{d}{dt}m_3 = \frac{(p_4 - p_3 - \xi_3 \cdot \dot{m}_3 \cdot |\dot{m}_3|)}{j_3}. \end{cases} \quad (2.5)$$

Зададим закон импульсного возмущения для давления во второй магистрали p_2 такого вида

$$p_2(t) = \begin{cases} A \sin \left(z(t) - \frac{\pi}{2} \right) + A + x_0 & \text{если } 0 \leq t \leq T, \\ x_0 & \text{если } t > T, \end{cases} \quad (2.6)$$

где $z(t) = 2 \cdot t \cdot \frac{\pi}{T}$, $A = 0.1$ МПа - амплитуда возмущения, $T = 0.1$ секунды - период колебаний, $t = 0..1$ с шагом $h = 10^{-6}$ секунд - временная область, в которой исследуется система.

Подставляя (2.6) в систему дифференциальных уравнений (2.5), решаем ее численным методом во временной области t . По получившимся результатам вычислений строим отображающие переходный процесс графики изменения величин p_4 , V_d , \dot{m}_1 , \dot{m}_2 , \dot{m}_3 и \dot{m}_d от времени t . Графики представлены ниже, а программный код расчета, написанный на языке программирования python, представлен в приложении.

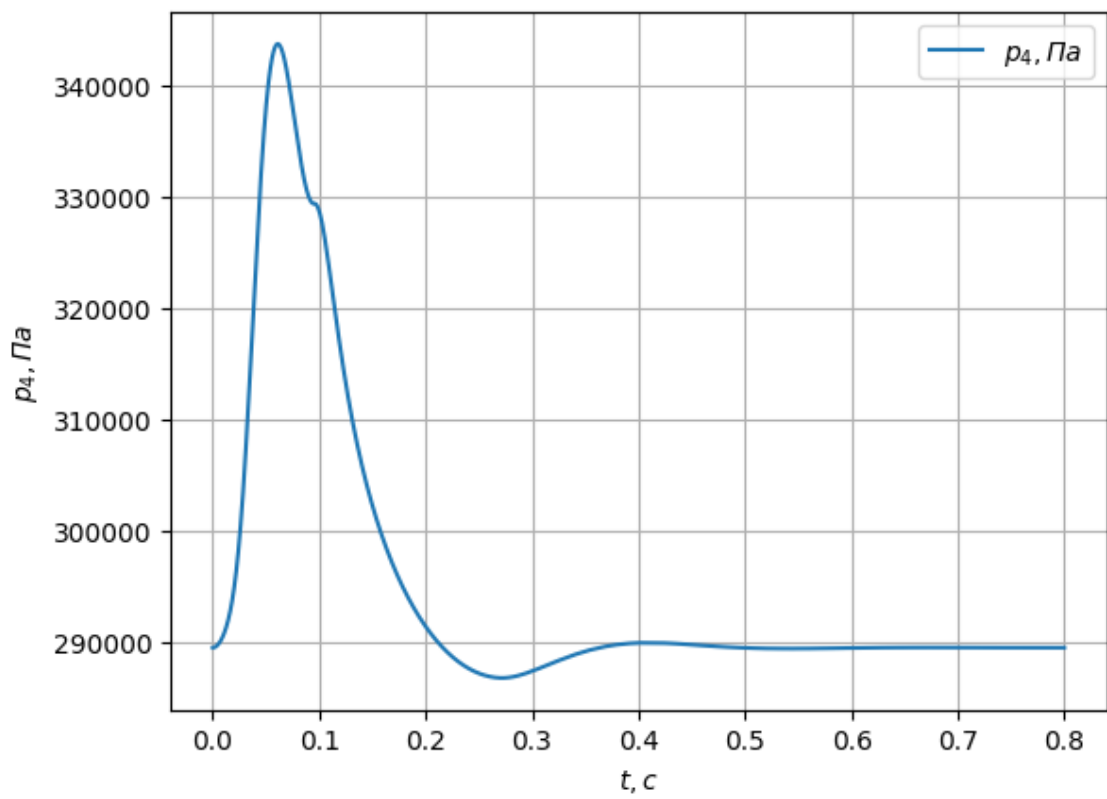


Рис. 2.1 – График зависимости $p_4(t)$

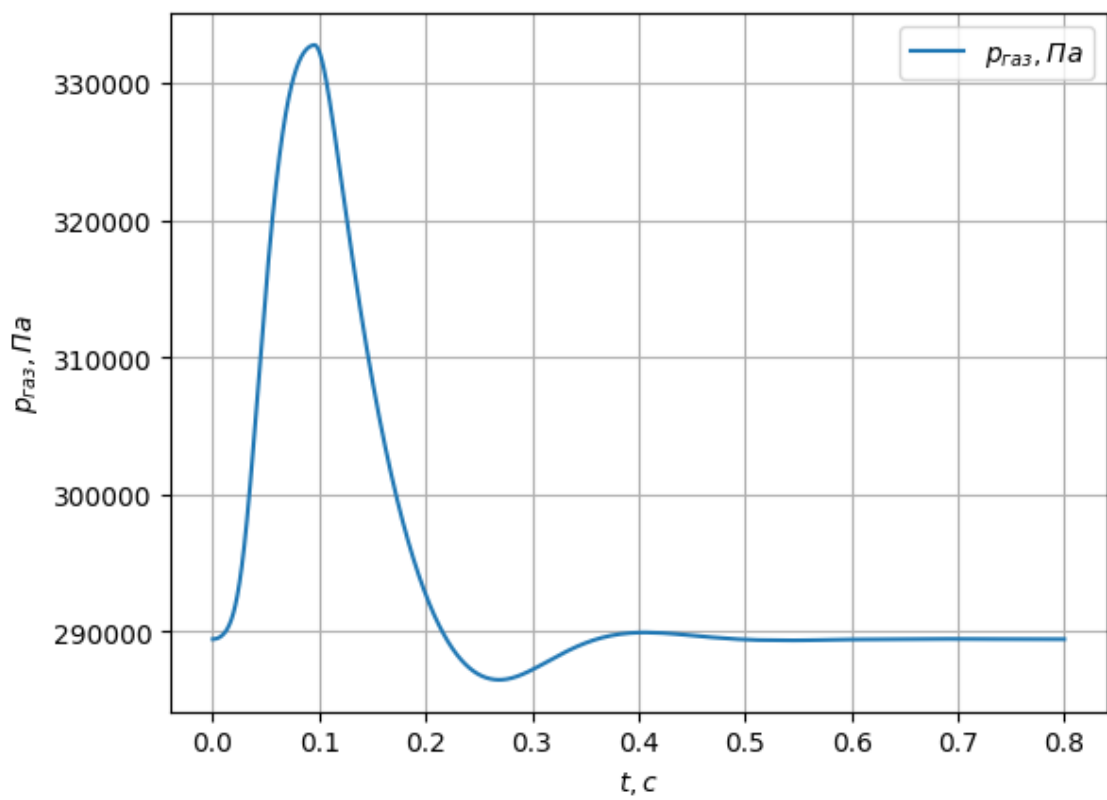


Рис. 2.2 – График зависимости $p_{\text{г}}(t)$

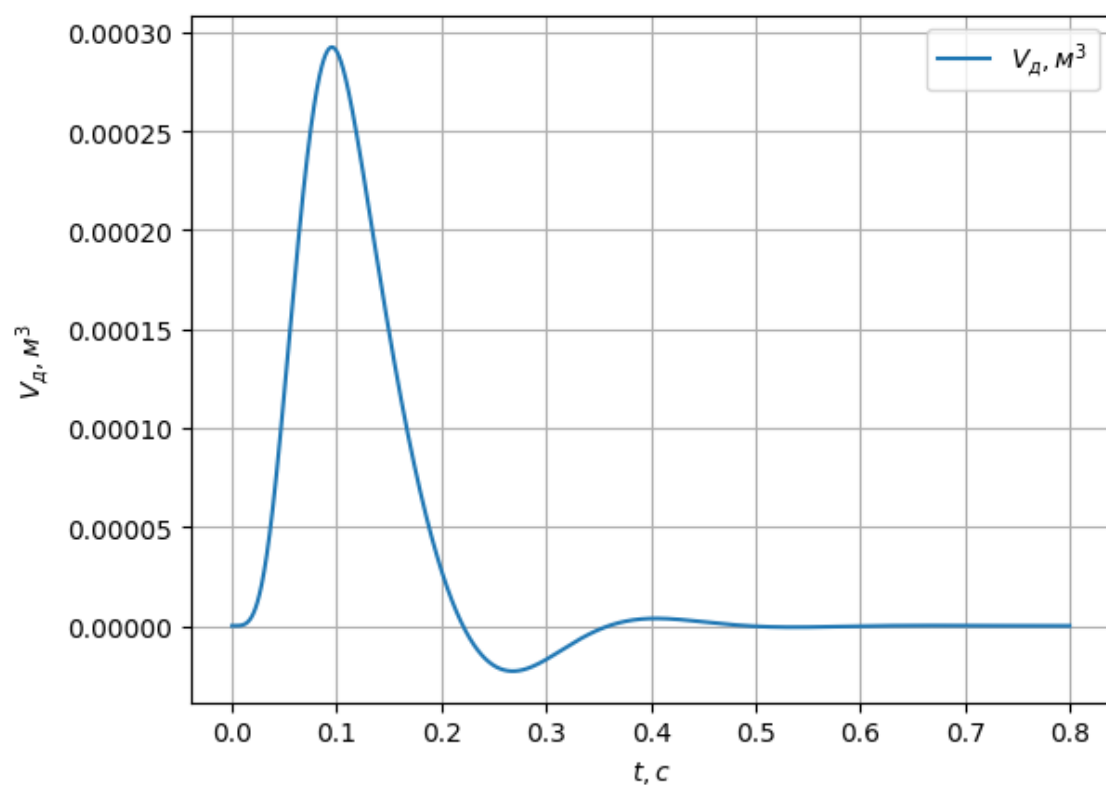


Рис. 2.3 – График зависимости $V_d(t)$

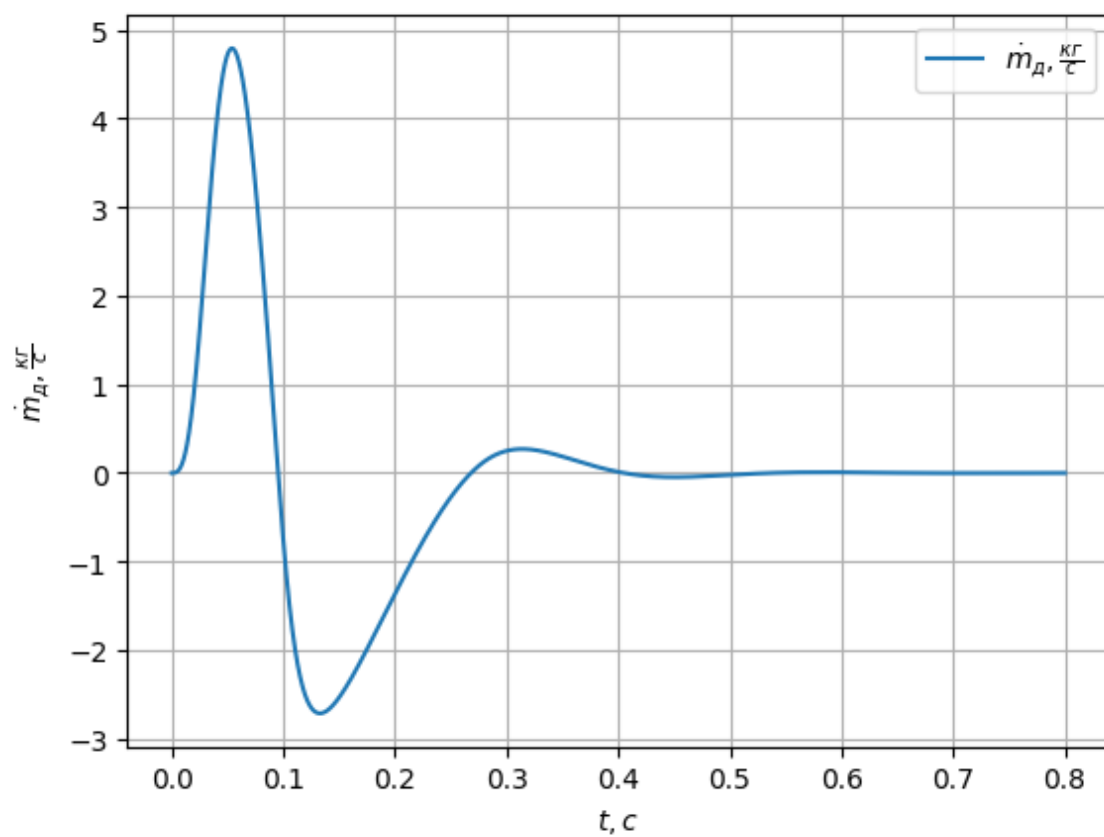


Рис. 2.4 – График зависимости $\dot{m}_d(t)$

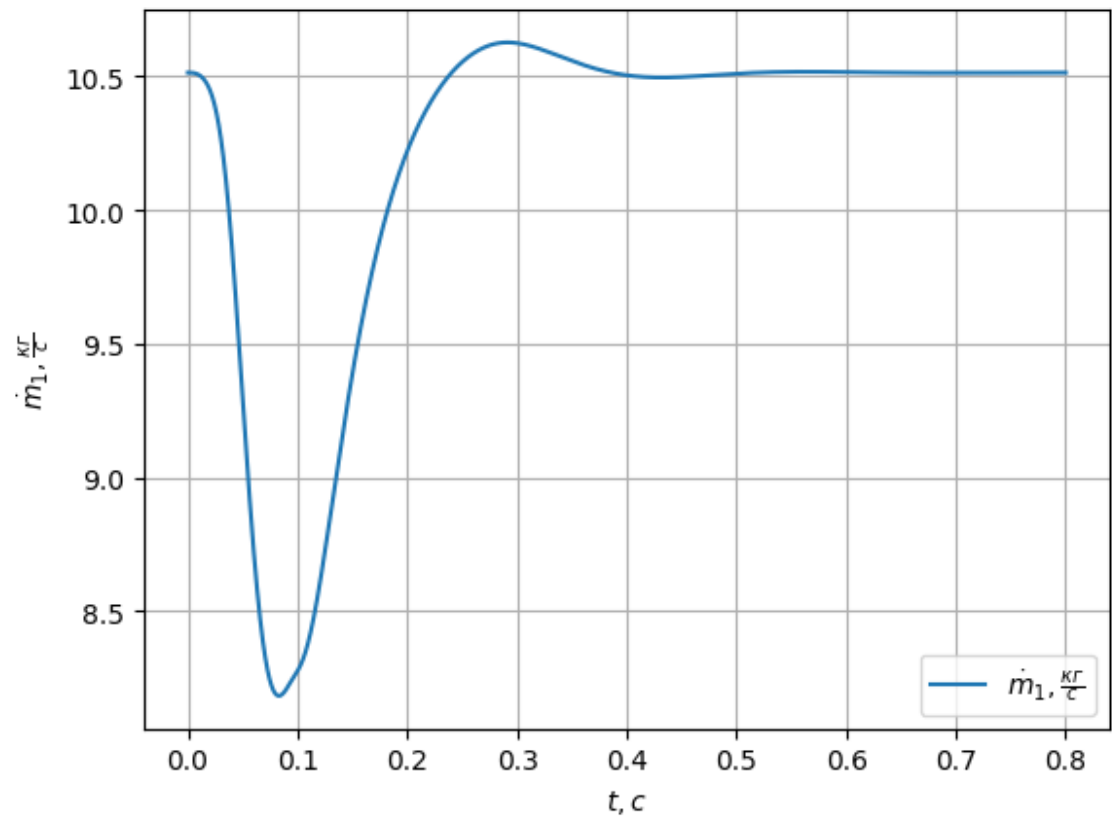


Рис. 2.5 – График зависимости $\dot{m}_1(t)$

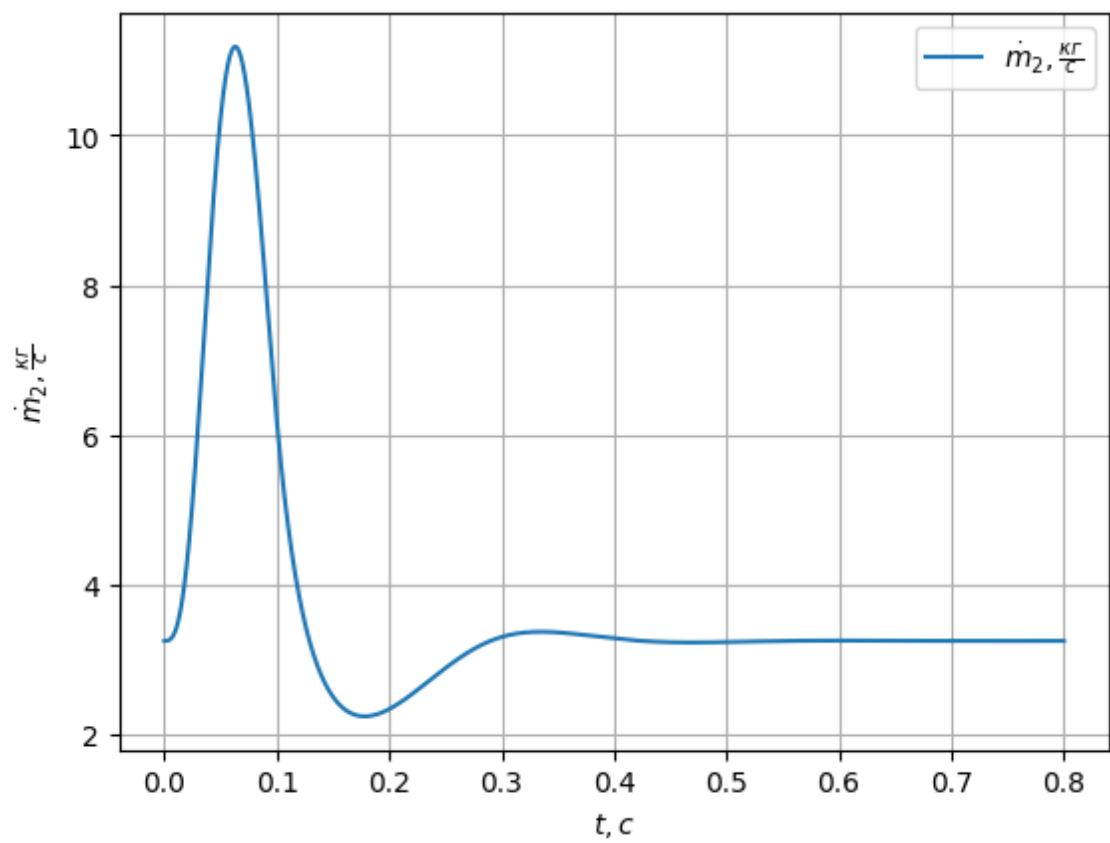


Рис. 2.6 – График зависимости $\dot{m}_2(t)$

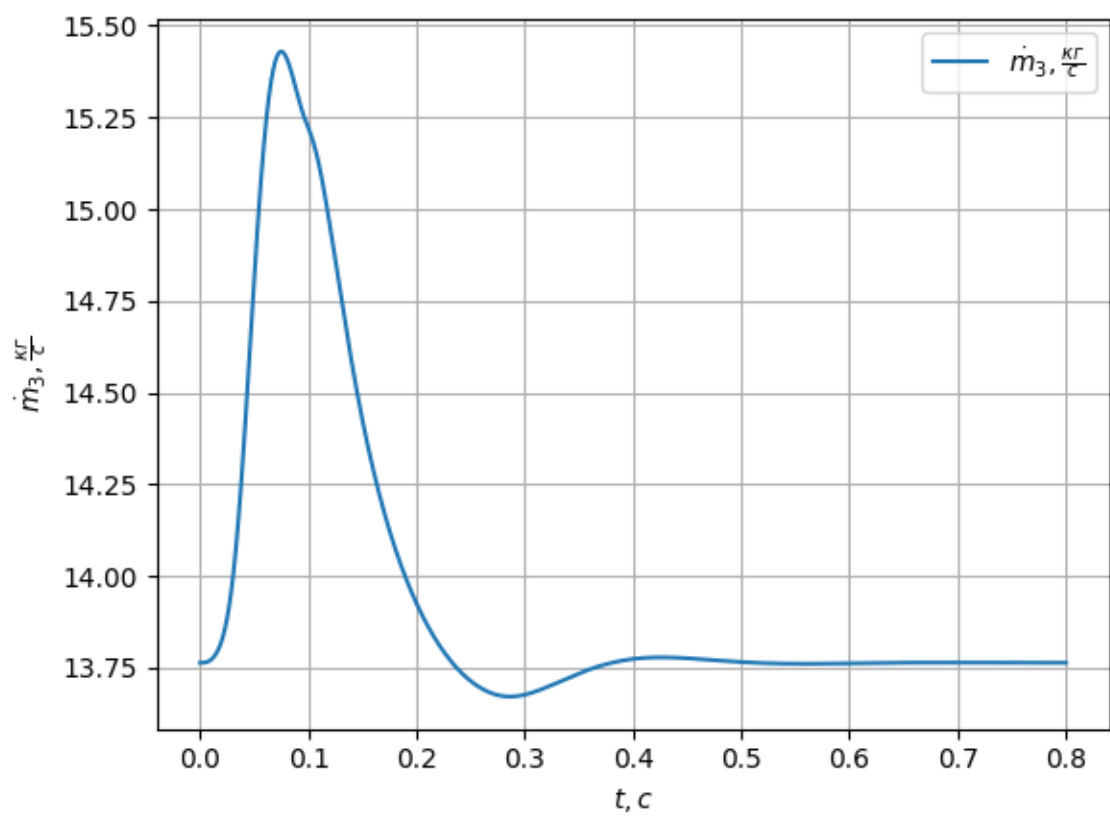


Рис. 2.7 – График зависимости $\dot{m}_3(t)$

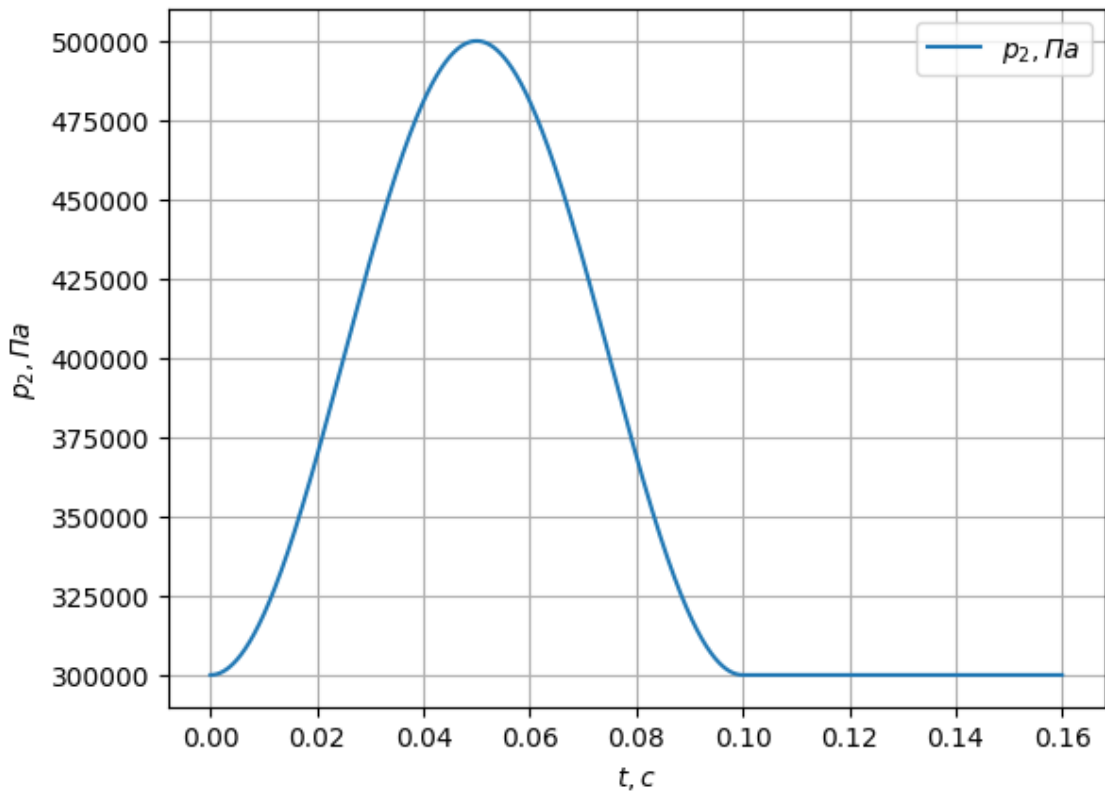


Рис. 2.8 – График зависимости $p_2(t)$

2.2.2 Определение АЧХ системы

Для построения амплитудно-частотной характеристики необходимо знать амплитуду колебаний системы при различных частотах возмущения. Зададим синусоидальное возмущение $p_2(t, f)$ таким образом

$$p_2(t, f) = f \cdot 2\pi \cdot t, \quad (2.7)$$

где f - частота колебаний p_2 .

Тогда АЧХ будем искать в виде

$$АЧХ = \frac{\frac{\max(p_4) - \min(p_4)}{2}}{A}, \quad (2.8)$$

где максимальные и минимальные значения будем искать на установившемся режиме в диапазоне времени от 0.7 до 0.8 секунд.

Подставляя (2.7) в систему уравнений (2.5), находим решения для каждого значения частоты $f = 0..1000$ Гц с увеличивающимся шагом.

График реакции p_4 на синусоидальное возмущение p_2 , заданное в (2.7), при частоте $f = 15$ и возмущения p_2 показаны на рисунке (2.9) и (2.10) соответственно. Амплитудно-частотная характеристика системы показана на рисунке (2.11). Программный код расчета, написанный на языке программирования python, представлен в приложении.

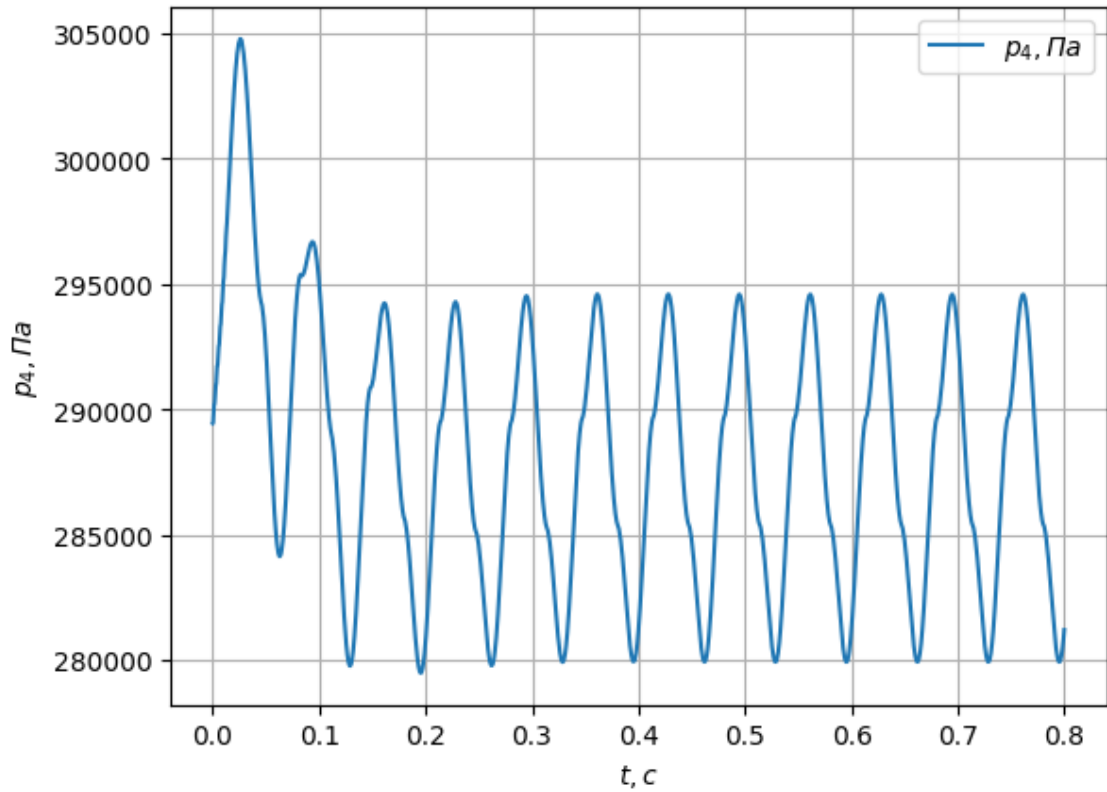


Рис. 2.9 – График зависимости $p_4(t)$ при $f = 15$ Гц

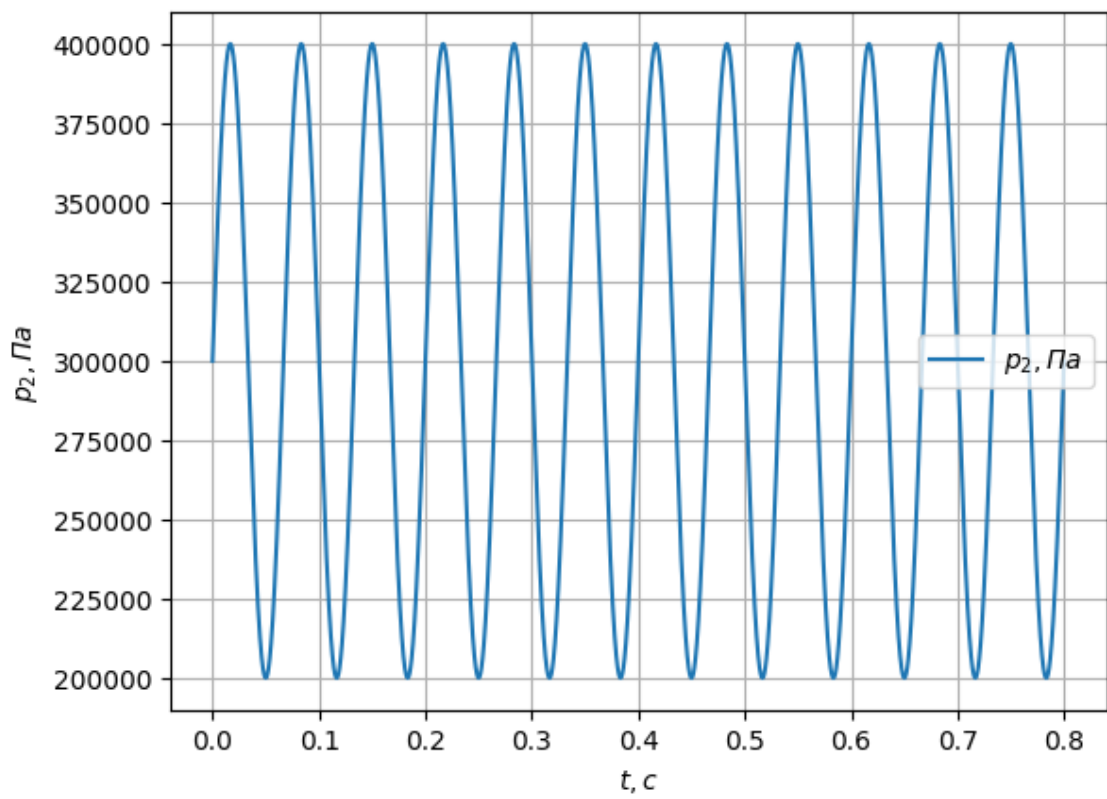


Рис. 2.10 – График зависимости $p_2(t)$ при $f = 15$ Гц

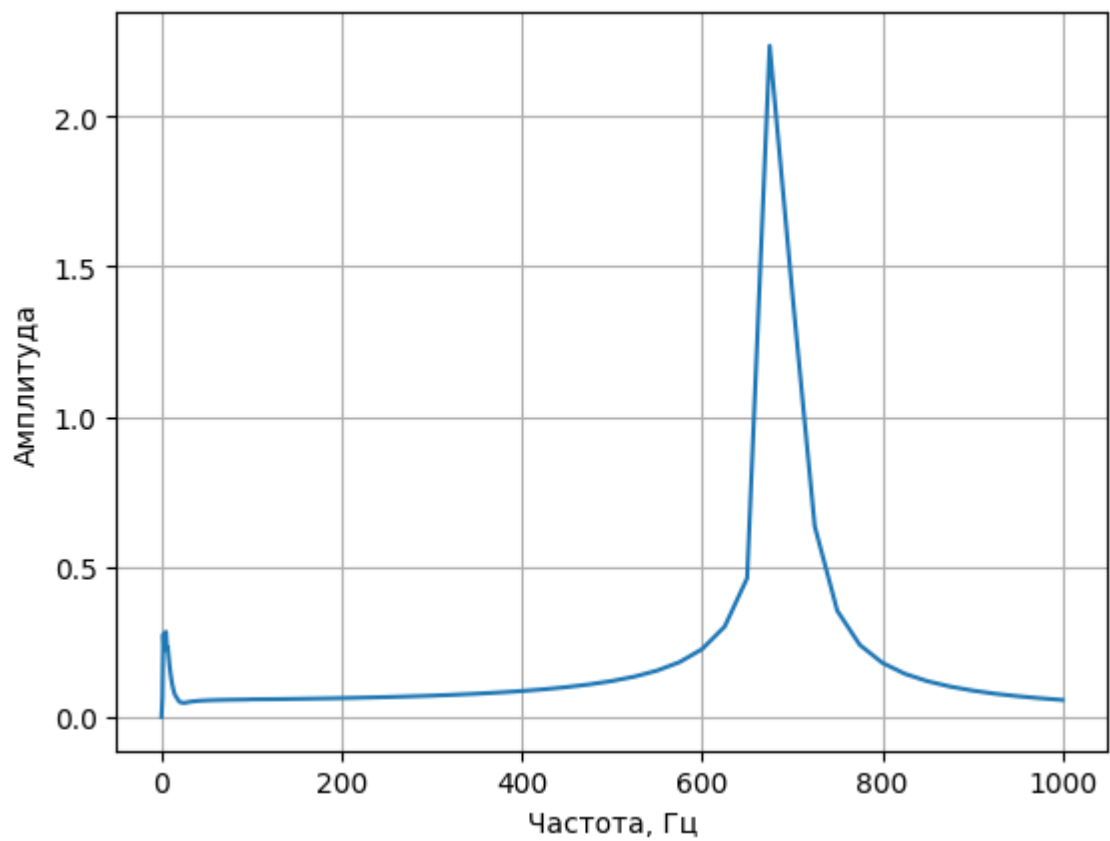


Рис. 2.11 – Амплитудно-частотная характеристика

2.3 Решение динамической задачи без демпфера

2.3.1 Определение математической модели

Запишем математическую модель для динамической системы без демпфера в виде следующей системы дифференциальных уравнений

$$\begin{cases} \frac{d}{dt}p_4 = \frac{(\dot{m}_1 + \dot{m}_2 - \dot{m}_3)}{\frac{V_{ж0}}{c^2}}, \\ \frac{d}{dt}m_1 = \frac{(p_1 - p_4 - \xi_1 \cdot \dot{m}_1 \cdot |\dot{m}_1|)}{j_1}, \\ \frac{d}{dt}m_2 = \frac{(p_2 - p_4 - \xi_2 \cdot \dot{m}_2 \cdot |\dot{m}_2|)}{j_2}, \\ \frac{d}{dt}m_3 = \frac{(p_4 - p_3 - \xi_3 \cdot \dot{m}_3 \cdot |\dot{m}_3|)}{j_3}. \end{cases} \quad (2.9)$$

Зададим закон импульсного возмущения для давления во второй магистрали p_2 такого же вида, как (2.6).

Подставляя (2.6) в систему дифференциальных уравнений (2.9), решаем ее численным методом во временной области t . По получившимся результатам вычислений строим отображающие переходный процесс графики изменения величин p_4 , V_d , \dot{m}_1 , \dot{m}_2 , \dot{m}_3 и \dot{m}_d от времени t . Графики представлены ниже, а программный код расчета, написанный на языке программирования python, представлен в приложении.

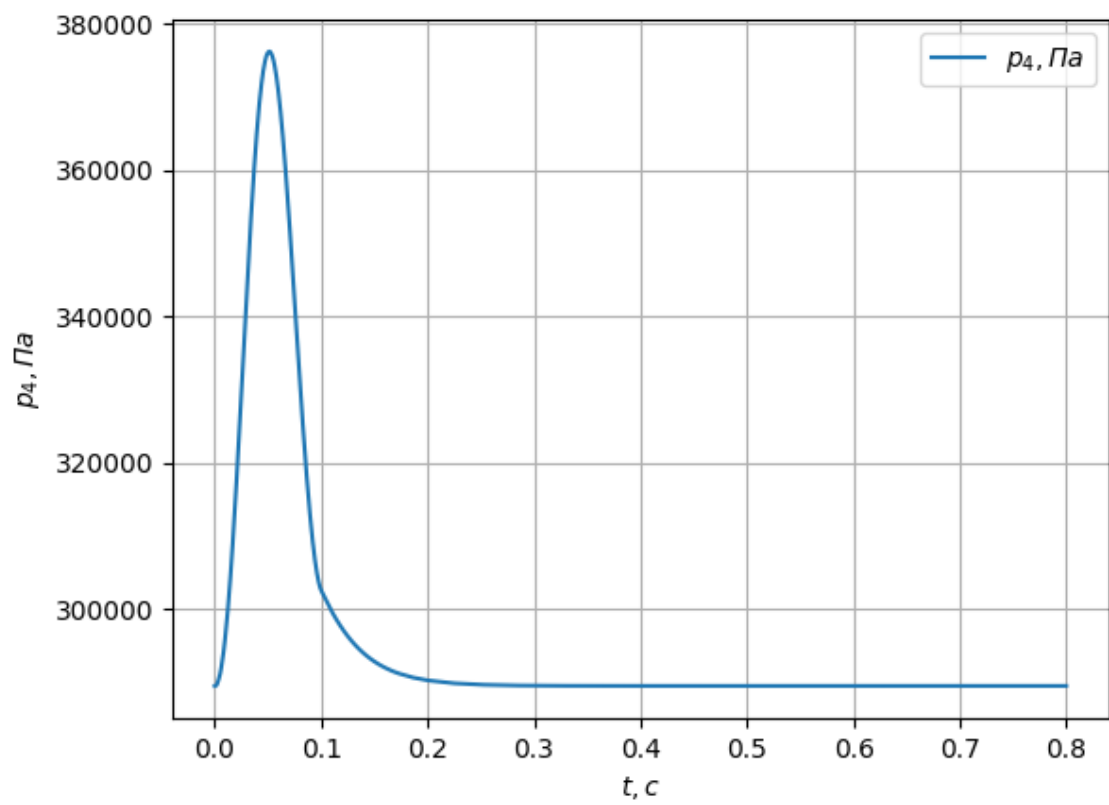


Рис. 2.12 – График зависимости $p_4(t)$

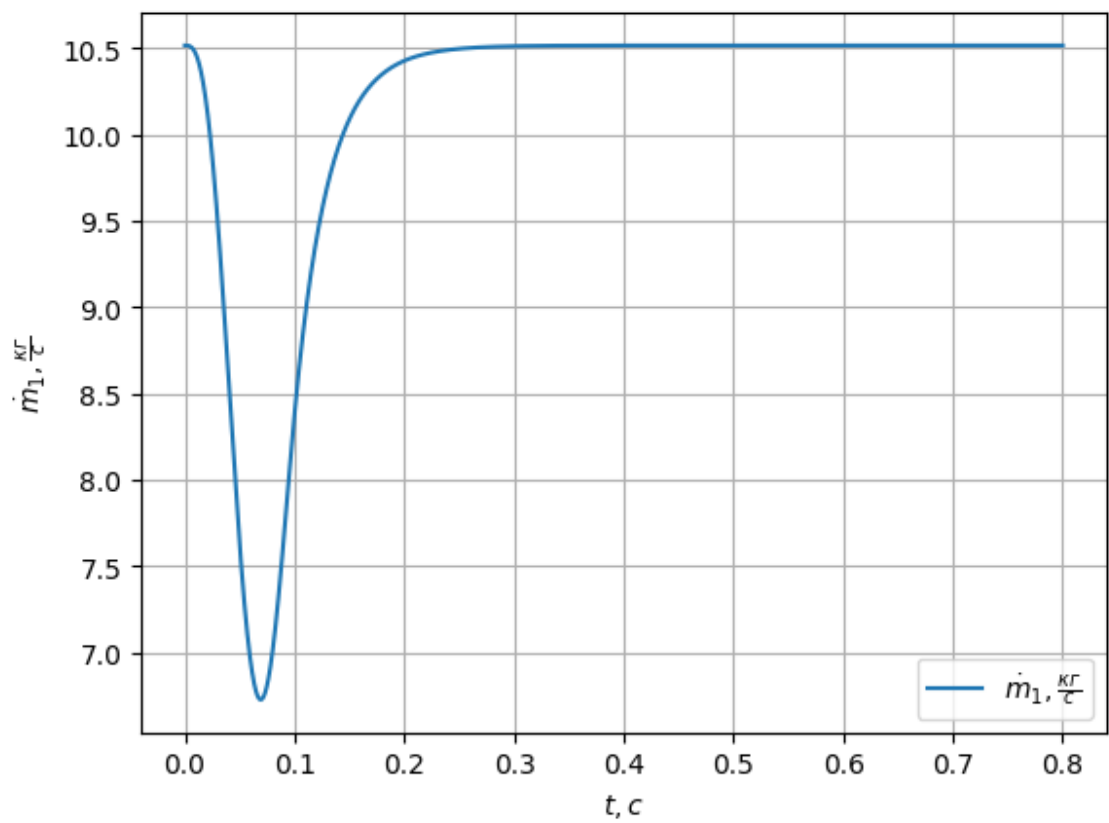


Рис. 2.13 – График зависимости $\dot{m}_1(t)$

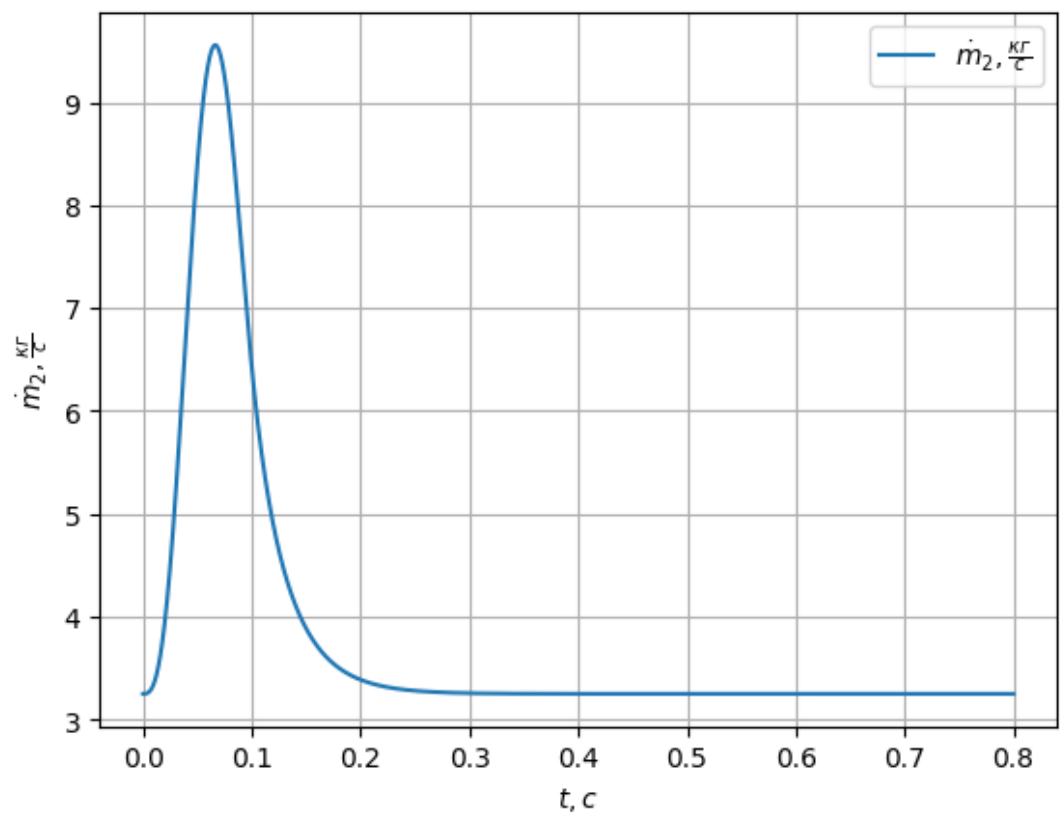


Рис. 2.14 – График зависимости $\dot{m}_2(t)$

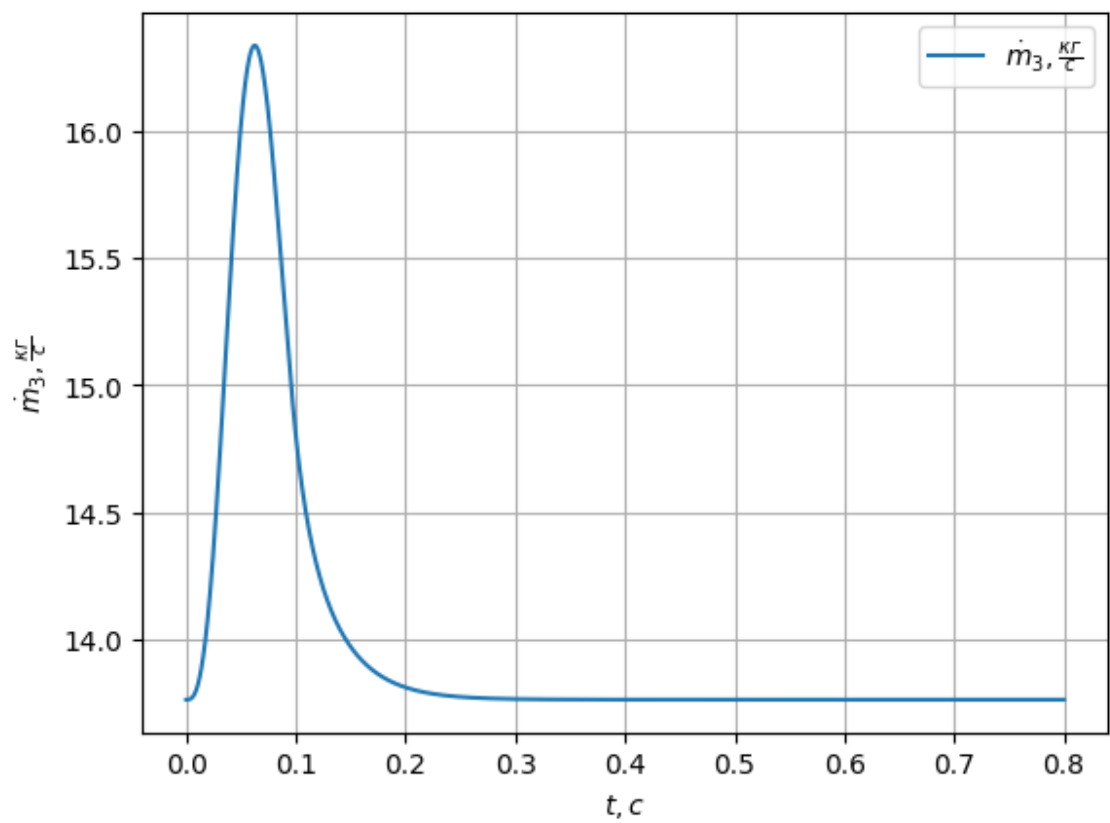


Рис. 2.15 – График зависимости $\dot{m}_3(t)$

2.3.2 Определение АЧХ системы

Для построения амплитудно-частотной характеристики необходимо знать амплитуду колебаний системы при различных частотах возмущения. Зададим синусоидальное возмущение $p_2(t, f)$ таким же образом, как и в (2.7). АЧХ будем искать в виде (2.8), где максимальные и минимальные значения будем искать на установившемся режиме в диапазоне времени от 0.7 до 0.8 секунд.

Подставляя (2.7) в систему уравнений (2.9), находим решения для каждого значения частоты $f = 0..1000$ Гц с увеличивающимся шагом.

График реакции p_4 на синусоидальное возмущение p_2 , заданное в (2.7), при частоте $f = 15$ и возмущения p_2 показаны на рисунке (2.16) и (2.17) соответственно. Амплитудно-частотная характеристика системы показана на рисунке (2.18). Программный код расчета, написанный на языке программирования python, представлен в приложении.

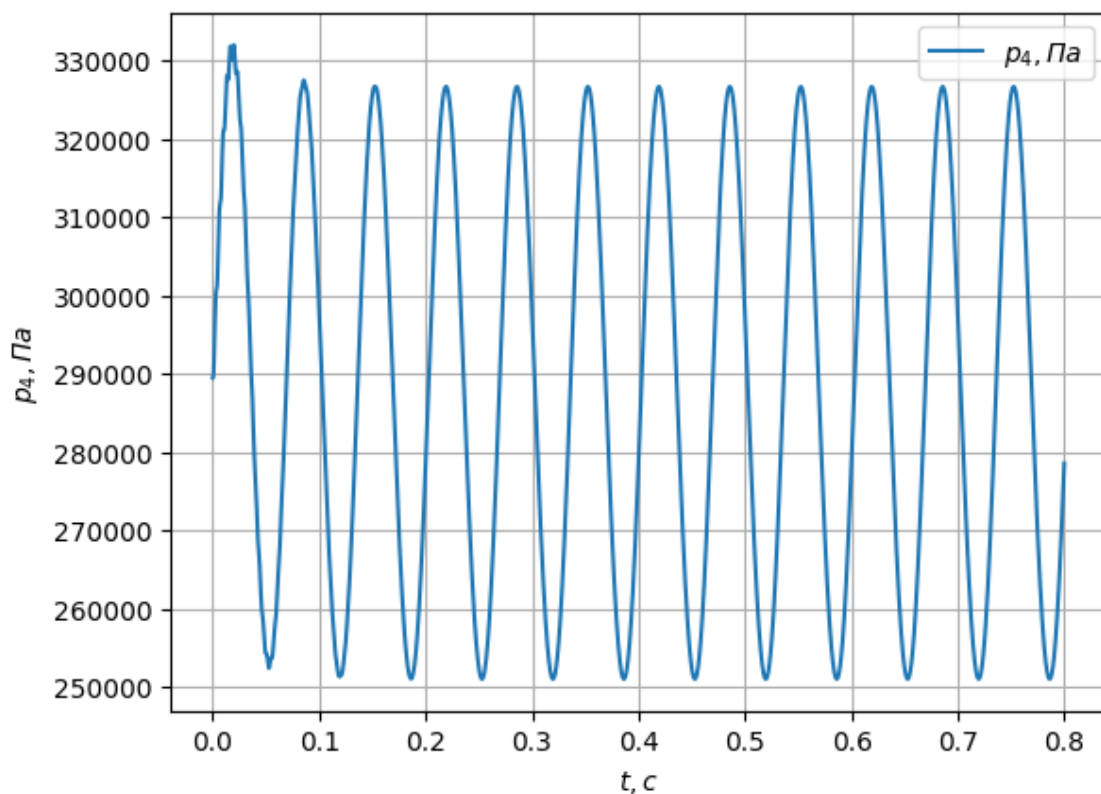


Рис. 2.16 – График зависимости $p_4(t)$ при $f = 15$ Гц

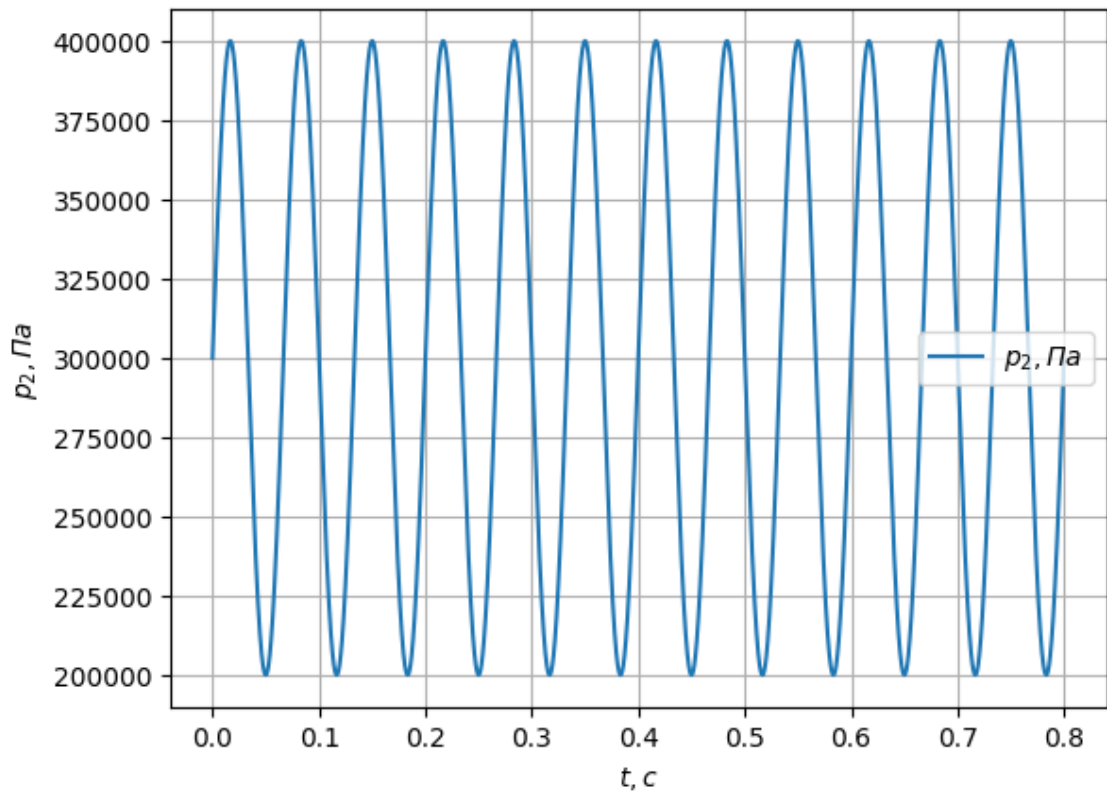


Рис. 2.17 – График зависимости $p_2(t)$ при $f = 15$ Гц

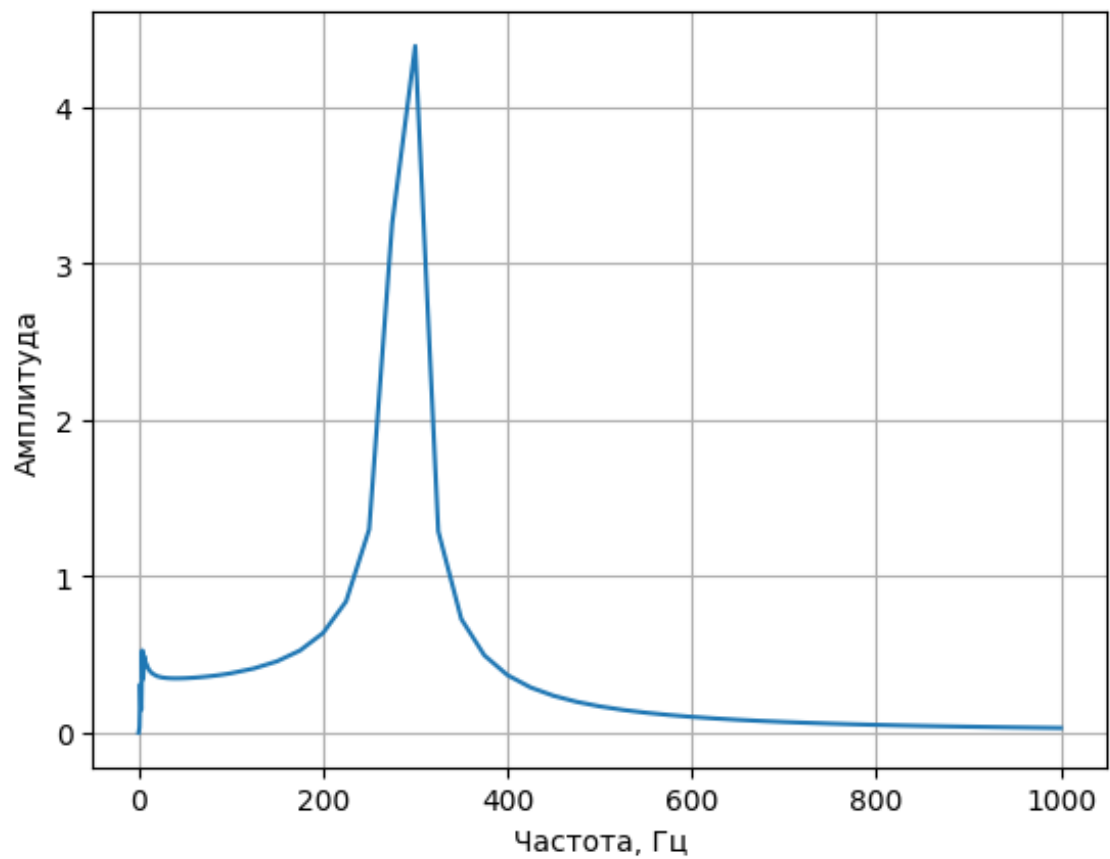


Рис. 2.18 – Амплитудно-частотная характеристика

3 ЗАКЛЮЧЕНИЕ

В данной работе была составлена математическая модель гидромагистрали с демпфером и без демпфера, произведен расчет системы дифференциальных уравнений, описывающих процессы в колебательной системе мат. модели, с помощью численных методов и получены решения для искомым по заданию величин p_4 , V_d , \dot{m}_1 , \dot{m}_2 , \dot{m}_3 и \dot{m}_d и др. Так же были построены амплитудно-частотные характеристики для систем.

Взглянув на полученные графики, отображающие переходные процессы в системе с демпфером и без него (рисунки (2.1), (2.12) соответственно), можно заметить, что демпфер сработал как и ожидалось, то есть уменьшил амплитуду вынужденных колебаний системы.

Все вычисления производились на ЭВМ, программный код на языке программирования python прилагается. Для расчета систем дифференциальных уравнений использовался модуль `scipy`, метод решения - LSODA [2].

БИБЛИОГРАФИЧЕСКИЙ СПИСОК

1. Попов Е.П. Теория линейных систем автоматического регулирования и управления [Текст] : учеб. пособие для вузов / Е.П. Попов. - 2-е изд., перераб. и доп. - М. : Наука, 1989. - 301 с.

2. SciPy v1.11.4 Manual [Электронный ресурс] // URL: <https://docs.scipy.org/doc/scipy/reference/generated/scipy.integrate.odeint.html> (дата обращения: 10.декабря.2023)

ПРИЛОЖЕНИЕ

ПРОГРАММНЫЙ КОД РЕШЕНИЯ

1 ИСХОДНЫЕ ДАННЫЕ

```
[1]: from scipy.integrate import odeint
from scipy.optimize import fsolve
from matplotlib import pyplot as plt
import numpy as np
import pandas as pd
from numpy import pi, sin
import warnings as w

w.filterwarnings("ignore")

# Давления в каналах
p1 = 400e3
p2_0 = 300e3
p3 = 100e3

# Параметры демпфирующей жидкости
Vд_0 = 0
mд_0 = 0

# Параметры жидкости -> керосин
с = 1330
Vж0 = 0.004
ρж = 820

# Параметры газа -> гелий
```

```

k = 1.4
R = 8.314
M = 0.0040026
R_газ = R / M
Tгаз_0 = 293
Vгаз_0 = 0.003

# Коэффициенты инерционности
j1 = j2 = j3 = 400
jd = 20

# Коэффициенты сопротивления
xi1 = xi2 = xi3 = 1000
xid = 1000

```

2 РЕШЕНИЕ СТАЦИОНАРНОЙ ЗАДАЧИ

```

[2]: def system_static(vars):
    """ Система уравнений стационарной системы """
    m1_0, m2_0, m3_0, p4_0, pgas_0 = vars

    return [m1_0 + m2_0 - m3_0,
            p4_0 - pgas_0,
            p1 - p4_0 - xi1*m1_0**2,
            p4_0 - p3 - xi3*m3_0**2,
            p2_0 - p4_0 - xi2*m2_0**2]

# Вводим начальные приближения

```

```

initial_guess = [5, 5, 5, 3e5, 3e5]

# Решение системы
sol_static = fsolve(system_static, initial_guess)

m1_0 = sol_static[0]
m2_0 = sol_static[1]
m3_0 = sol_static[2]
p4_0 = sol_static[3]
pgas_0 = sol_static[4]

rho_gas = pgas_0 / (R_gas * Tгаз_0)
m_газ = rho_gas * Vгаз_0

# Вывод переменных
print("  m1_0 = {:.3f}".format(m1_0))
print("  m2_0 = {:.3f}".format(m2_0))
print("  m3_0 = {:.3f}".format(m3_0))
print("  p4_0 = {:.3f}".format(p4_0))
print("pgas_0 = {:.3f}".format(pgas_0))
print("rho_gas = {:.3f}".format(rho_gas))
print("  m_газ = {:.3f}".format(m_газ))

```

```

m1_0 = 10.515
m2_0 = 3.249
m3_0 = 13.764
p4_0 = 289442.719
pgas_0 = 289442.719
rho_gas = 0.476
m_газ = 0.001

```


3 ДОПОЛНИТЕЛЬНЫЕ ФУНКЦИИ И КОНСТАНТЫ

```
[3]: # ФУНКЦИИ ВОЗМУЩЕНИЯ
def p2(t):
    """ ФУНКЦИЯ ИМПУЛЬСНОГО ВОЗМУЩЕНИЯ """
    if t <= T:
        z = 2 * t * pi/T
        insin = z - pi/2
        p2 = p2_0 + A*sin(insin) + A
    else:
        p2 = p2_0
    return p2

def p2_sin(t):
    """ ФУНКЦИЯ ВОЗМУЩЕНИЯ, ИЗМЕНЯЮЩАЯСЯ ПО СИНУСУ """
    z = 2 * t * pi/T
    insin = z - pi/2
    p2 = p2_0 + A*sin(insin)
    return p2

def p2_sin_afc(t, freq):
    """ ФУНКЦИЯ ВОЗМУЩЕНИЯ, ЗАВИСЯЩАЯ ОТ ЧАСТОТЫ """
    insin = freq * 2*pi * t
    p2 = p2_0 + A*sin(insin)
    return p2
```

```

# Функция построения графиков
def plot(t, y, label):
    plt.plot(t, y, label=label)
    plt.grid(True)
    plt.xlabel("$t, c$")
    plt.ylabel(label)
    plt.legend()
    plt.show()

A = 100000 # Амплитуда возмущения
T = 0.1 # Период возмущения

# Временной отрезок моделирования
t_end = .8
h = 1e-6
t = np.arange(0, t_end, h)

# Наборы начальных значений
y0 = [p4_0, Vд_0, m1_0, m2_0, m3_0, мд_0]
y0_n_d = [p4_0, m1_0, m2_0, m3_0]

# Частотный диапазон
frequency = []
for freq in np.arange(0, 16, 1):
    frequency.append(freq)
for freq in np.arange(20, 105, 5):
    frequency.append(freq)

```

```
for freq in np.arange(125, 1025, 25):
    frequency.append(freq)
```

4 РЕШЕНИЕ ДИНАМИЧЕСКОЙ ЗАДАЧИ С ДЕМПФЕРОМ

4.1 Решение

СДУ

```
[4]: def system(y, t):
    """ Система дифференциальных уравнений """
    p4, Vд, m1, m2, m3, мд = y

    d_p4 = (m1 + m2 - m3 - мд) / ((Vж0 + Vд) / c**2)
    d_Vд = мд / ρж
    d_m1 = (p1 - p4 - ξ1 * m1 * abs(m1)) / j1
    d_m2 = (p2(t) - p4 - ξ2 * m2 * abs(m2)) / j2
    d_m3 = (p4 - p3 - ξ3 * m3 * abs(m3)) / j3
    d_мд = (p4 - (m_газ / (Vгаз_0 - Vд)) * R_газ *
            (Tгаз_0 * ((p4 / p4_0)**((k-1)/k))) -
            ξд * мд * abs(мд)) / jд

    return [d_p4, d_Vд, d_m1, d_m2, d_m3, d_мд]

# Решение
sol = odeint(system, y0, t)

p_газ = (m_газ / (Vгаз_0 - sol[:, 1])) * R_газ * \
        (Tгаз_0 * ((sol[:, 0] / p4_0)**((k-1)/k)))
```

```
[5]: max(sol[:, 0])
```

```
[5]: 343719.8998417112
```

4.2 Построение

графиков

```
[ ]: plot(t, sol[:, 0], r"$p_4, Па$")
plot(t, p_газ, r"$p_{газ}, Па$")
plot(t, sol[:, 1], r"$V_д, м^3$")
plot(t, sol[:, 2], r"$\dot{m}_1, \frac{кг}{с}$")
plot(t, sol[:, 3], r"$\dot{m}_2, \frac{кг}{с}$")
plot(t, sol[:, 4], r"$\dot{m}_3, \frac{кг}{с}$")
plot(t, sol[:, 5], r"$\dot{m}_д, \frac{кг}{с}$")
plot(t[:int(t_end//h//5)], [p2(t) for t in t][:
    int(t_end//h//5)], r"$p_2, Па$")
```

5 ПОСТРОЕНИЕ АЧХ СИСТЕМЫ С ДЕМПФЕРОМ

5.1 Решение

```
[ ]: def system_afc(y, t, freq):
    """ Система дифференциальных уравнений,
    зависящая от частоты """
    p4, Vд, m1, m2, m3, мд = y

    d_p4 = (m1 + m2 - m3 - мд) / ((Vж0 + Vд) / c**2)
    d_Vд = мд / ρж
    d_m1 = (p1 - p4 - ξ1 * m1 * abs(m1)) / j1
```

```

    d_m2 = (p2_sin_afc(t, freq) - p4 -  $\xi_2$  * m2 *  $\sqrt{\text{abs}(m2)}$ 
    abs(m2)) / j2
    d_m3 = (p4 - p3 -  $\xi_3$  * m3 * abs(m3)) / j3
    d_мд = (p4 - (m_раз / (Vраз_0 - Vд)) * R_раз *
            (Траз_0 * ((p4 / p4_0)**((k-1)/k))) -
             $\xi_д$  * мд * abs(мд)) / jд

    return [d_p4, d_Vд, d_m1, d_m2, d_m3, d_мд]

sol_afc = []
amplitude = []
for i, freq in enumerate(frequency):
    sol_afc = odeint(system_afc, y0, t, (freq,))
    if i == 15:
        sol_afc_p4_15 = sol_afc[:, 0]
        amplitude.append(
            (max(sol_afc[700000:800000, 0]) -
             min(sol_afc[700000:800000, 0])) / 2 / A)
    del sol_afc

print(amplitude)

```

5.2 График

АЧХ

```
[ ]: plot(t[:,], sol_afc_p4_15[:,], "$p_4, Па$")
```

```
[ ]: plot(t[:,], [p2_sin_afc(t, frequency[15]) for t in
t][:,], "$p_2, Па$")
```

```
[ ]: plt.plot(frequency, amplitude)
plt.grid()
plt.xlabel("Частота, Гц")
plt.ylabel("Амплитуда")
plt.show()
```

6 РЕШЕНИЕ ДИНАМИЧЕСКОЙ ЗАДАЧИ БЕЗ ДЕМПФЕРА

6.1 Решение

СДУ

```
[11]: def system_no_damper(y, t):
        """ Система дифференциальных уравнений """
        p4, m1, m2, m3 = y

        d_p4 = (m1 + m2 - m3) / ((Vж0) / c**2)
        d_m1 = (p1 - p4 - ξ1 * m1 * abs(m1)) / j1
        d_m2 = (p2(t) - p4 - ξ2 * m2 * abs(m2)) / j2
        d_m3 = (p4 - p3 - ξ3 * m3 * abs(m3)) / j3

        return [d_p4, d_m1, d_m2, d_m3]

sol_no_damper = odeint(system_no_damper, y0_n_d, t)
```

```
[12]: max(sol_no_damper[:, 0])
```

```
[12]: 376204.8683575951
```

6.2 Построение

графиков

```
[ ]: plot(t, sol_no_damper[:, 0], r"$p_4, Па$")
plot(t, sol_no_damper[:, 1], r"$\dot{m}_1, \frac{кг}{с}$")
plot(t, sol_no_damper[:, 2], r"$\dot{m}_2, \frac{кг}{с}$")
plot(t, sol_no_damper[:, 3], r"$\dot{m}_3, \frac{кг}{с}$")
```

7 ПОСТРОЕНИЕ АЧХ СИСТЕМЫ БЕЗ ДЕМПФЕРА

7.1 Решение

```
[ ]: def system_afc_no_damper(y, t, freq):
    """ Система дифференциальных уравнений """
    p4, m1, m2, m3 = y

    d_p4 = (m1 + m2 - m3) / ((Vж0) / c**2)
    d_m1 = (p1 - p4 - ξ1 * m1 * abs(m1)) / j1
    d_m2 = (p2_sin_afc(t, freq) - p4 - ξ2 * m2 * abs(m2)) / j2
    d_m3 = (p4 - p3 - ξ3 * m3 * abs(m3)) / j3

    return [d_p4, d_m1, d_m2, d_m3]

sol_afc_no_damper = []
amplitude_nodamper = []
for i, freq in enumerate(frequency):
    sol_afc_no_damper = []
    odeint(system_afc_no_damper, y0_n_d, t, (freq,))
    if i == 15:
```

```

        sol_afc_nd_p4_15 = sol_afc_no_damper[:, 0]
    amplitude_nodamper.append(
        (max(sol_afc_no_damper[700000:800000, 0]) -
         min(sol_afc_no_damper[700000:800000, 0])) /
        2 / A)
    del sol_afc_no_damper

print(amplitude_nodamper)

```

7.2 График

АЧХ

```
[ ]: plot(t[:, sol_afc_nd_p4_15[:, "$p_4, Па$")
```

```
[ ]: plot(t[:, [p2_sin_afc(t, frequency[15]) for t in
t[:, "$p_2, Па$")
```

```
[ ]: plt.plot(frequency, amplitude_nodamper)
plt.grid()
plt.xlabel("Частота, Гц")
plt.ylabel("Амплитуда")
plt.show()

```